

**1. ФІЗІЧНІ І МАТЕМАТИЧНІ
І ХІМІЧНІ НАУКИ**

PHYSICS, MATHEMATICS AND CHEMISTRY

**ФИЗИКО-МАТЕМАТИЧЕСКИЕ
И ХИМИЧЕСКИЕ НАУКИ**

**КОНТАКТНЫЕ НАПРЯЖЕНИЯ МЕЖДУ
УПРУГИМИ ТОНКИМИ ЦИЛИНДРИЧЕСКИМИ
ОБОЛОЧКАМИ И УПРУГИМ ПРОСТРАНСТВОМ
С ЦИЛИНДРИЧЕСКОЙ ПОЛОСТЬЮ ПРИ
АНТИПЛОСКОЙ ДЕФОРМАЦИИ**

Н. А. КУТУЗЯН

*Кандидат физикоматематических наук, доцент,
проректор Гаварского государственного университета*

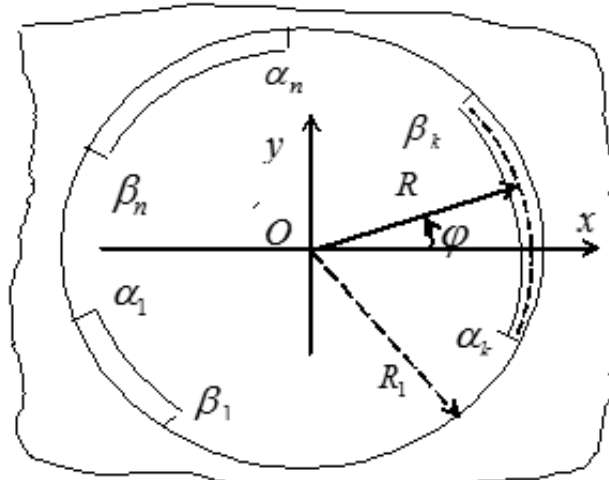
Л. А. ШЕКЯН

*Кандидат физикоматематических наук, доцент,
лектор Гаварского государственного университета*

Многочисленные результаты по исследованию плоских задач контактного взаимодействия между деформируемыми цилиндрическими телами или между цилиндрическими стрингерами приведены в [1-3], и др. работах.

1. Подстановка задачи и вывод системы разрешающих интегральных уравнений

В постановке линейной теории упругости рассмотрим задачу о контактном взаимодействии тонких цилиндрических оболочек-стрингеров (фиг. 1) и упругого пространства с цилиндрической полостью, находящихся в условиях антиплоской деформации. Предполагается, что оболочки имеют одинаковые модуль упругости G , толщину $2h$ и радиус срединной поверхности R , причем радиусы внешних поверхностей оболочек – $(R+h)$ и полости пространства R_1 равны.



Фиг. 1

На внутренних поверхностях оболочек $r = R - h$, в направлении их оси Oz, приложены касательные нагрузки $f_+(\varphi)$, а внешние поверхности оболочек $r = R + h$ полностью скреплены с поверхностью полости пространства и при этом область контакта между этими телами состоит из n участков, которые в цилиндрической системе координат Ozφ расположены на поверхности

$$r = R_1, \quad \varphi \in L = \bigcup_{k=1}^n [\alpha_k, \beta_k] \subset (-\pi, \pi], \quad (-\infty < z < \infty).$$

Требуется определить законы распределения контактных касательных напряжений $f_+(\varphi)$, возникающих между оболочками-стенглерами и упругим пространством с цилиндрической полостью.

Выведем определяющие уравнения круглой тонкой замкнутой цилиндрической оболочки-стенгера бесконечной длины, подверженной продольному сдвигу в направлении своей оси Oz (перпендикулярно плоскости фиг.1). С этой целью будем исходить из точного двухмерного уравнения при антиплоской деформации бесконечного упругого цилиндрического тела, ограниченного двумя соосными цилиндрическими поверхностями.

В цилиндрической системе координат Ozφ компоненты перемещения $U_r = U_\varphi = 0$, а U_z зависит от r и φ и в области поперечного сечения цилиндра удовлетворяет уравнению Лапласа

$$\frac{\partial^2 U_z}{\partial z^2} + \frac{1}{r} \frac{\partial U_z}{\partial r} + \frac{1}{r^2} \frac{\partial^2 U_z}{\partial \varphi^2} = 0, \quad (R - h < r < R + h, \quad -\pi < \varphi < \pi), \quad (1)$$

при граничных условиях

$$\tau_{rz} \Big|_{r=R \pm h} = G \frac{\partial U_z}{\partial r} \Big|_{r=R \pm h} = f_{\pm}(\varphi), \quad (-\pi < \varphi < \pi). \quad (2)$$

Здесь G – модуль сдвига материала цилиндра, $2h$ – толщина полого цилиндра, R – радиус срединной поверхности цилиндра, $f+(\varphi)$ и $f-(\varphi)$ – законы распределения касательных нагрузок, соответственно, на внешних и внутренних поверхностях цилиндра.

Решение красовой задачи (1)-(2) представляем в виде комплексного ряда Фурье

(3)

где $U_k(r)$ неизвестные функции $U_z(r, \varphi) = \sum_{k=0}^{\infty} U_k(r) e^{ik\varphi}$ смотрение безразмерный параметр $\delta = h/R \ll 1$ и на основании (3) решение краевой задачи разложив в ряд по малому параметру δ , ограничиваясь членами порядка d , получим [4]

$$\frac{\partial^2 U_z(R \pm h, \varphi)}{\partial^2} = \frac{R(1+\delta)}{2G\delta} [f_+(\varphi) - \omega f_-(\varphi)], \quad \omega = (1-\delta)/(1+\delta). \quad (4)$$

Теперь рассмотрим упругого пространства с цилиндрической полостью радиуса $R_1 = (R+h)$ под действием касательных нагрузок, приложенных на поверхности полости в направлении их образующих. Тогда в $f_+(\varphi)$ решения $U_{1z}(R_1, \varphi)$ граничных точек этого полого пространства будут выражаться формулой [4]

$$U_{1z}(R_1, \varphi) = -\frac{R_1}{\pi G_1} \int_{-\pi}^{\pi} f_+(\theta) \ln \left| \frac{1}{2 \sin \frac{\theta-\varphi}{2}} \right| d\theta + const, \quad (-\pi < \varphi \leq \pi), \quad (5)$$

где $const.$

Далее, из условий контакта получим относительно $f_+(\varphi)$ системы сингулярных интеграла $U_z(R+h, \varphi) = U_{1z}(R_1, \varphi), (\varphi \in L)$

$$\frac{1}{\pi} \int_{-\pi}^{\pi} ctg \frac{\theta-\varphi}{2} f_+(\theta) d\theta = \frac{G_1}{2G} \int_{-\pi}^{\pi} \text{sgn}(\theta-\varphi) [f_+(\theta) - \omega f_-(\theta)] d\theta, (\varphi \in L), \quad (6)$$

или после выделения сингулярных и регулярных частей можем записать

$$\frac{1}{\pi} \sum_{\alpha_k}^{\beta_k} ctg \frac{\theta-\varphi}{2} f_+(\theta) d\theta = \frac{G_1}{G} \int_{\alpha_k}^{\varphi} [f_+(\theta) - \omega f_-(\theta)] d\theta - \frac{1}{\pi} \sum_{m=1}^n \int_{\alpha_m}^{\beta_m} ctg \frac{\theta-\varphi}{2} f_+(\theta) d\theta, \quad (\varphi \in [\alpha_k, \beta_k], \quad k = 1, 2, \dots, n), \quad (7)$$

где при сумме в левую часть системы (7) интегралы следует понимать в смысле главного значения по Коши, а в правой части этой системы фигурируются лишь обыкновенные регулярные интегралы. Решение системы интегральных уравнений (7) построим методом математического аппарата ортогональных многочленов Чебышева, основаным на нескольких интегральных соотношениях для ядра Гильберта [1]. С этой целью, введя обозначения

$$\delta_k = \frac{\alpha_k + \beta_k}{2}, \gamma_k = \frac{\beta_k - \alpha_k}{2} > 0, \quad \xi = \varphi - \delta_k, \varepsilon_{mk} = \frac{\delta_m - \delta_k}{2}, \\ f_+^{(k)}(\xi) = f_+(\xi + \delta_k), \quad f^{(k)}(\xi) = f(\xi + \delta_k), \quad (m, k = 1, 2, \dots, n), \quad (8)$$

систему (5) приводим к удобному для решения виду

$$\frac{1}{\pi} \int_{-\gamma_k}^{\gamma_k} ctg \frac{\eta-\xi}{2} f_+^{(k)}(\eta) d\eta = \frac{G_1}{G} \int_{-\gamma_k}^{\xi} [f_+^{(k)}(\eta) - \omega f_-^{(k)}(\eta)] d\eta - \\ - \frac{1}{\pi} \sum_{m=1}^n \int_{-\gamma_m}^{\gamma_m} ctg \left(\frac{\eta-\xi}{2} + \varepsilon_{mk} \right) f_+^{(m)}(\eta) d\eta, \quad (-\gamma_k < \xi < \gamma_k, \quad k = 1, 2, \dots, n). \quad (9)$$

2. Решени

Теперь, решение системы (9) представим бесконечным рядом по многочленам Чесышева первого рода $T_m(x)$

$$\text{Дале } f_+^{(k)}(\xi) = \frac{\sec \frac{\xi}{2}}{\sqrt{2(\cos \xi - \cos \gamma_k)}} \sum_{m=0}^{\infty} X_m^{(k)} T_m \left(\frac{\operatorname{tg} \frac{\xi}{2}}{\operatorname{tg} \frac{\gamma_k}{2}} \right), \quad (-\gamma_k < \xi < \gamma_k, k = 1, 2, \dots, n). \quad (10)$$

$$\frac{1}{\pi} \int_{-\alpha}^{\alpha} \operatorname{ctg} \frac{\theta - \varphi}{2} \frac{T_m \left(\operatorname{tg} \frac{\theta}{2} \right) \sec \frac{\theta}{2}}{\sqrt{2(\cos \theta - \cos \alpha)}} d\theta = \begin{cases} \sec \frac{\alpha}{2} \operatorname{tg} \frac{\varphi}{2}, & m = 0, \\ \frac{\sec^2 \frac{\varphi}{2}}{\sin \frac{\alpha}{2}} U_{m-1} \left(\frac{\operatorname{tg} \frac{\varphi}{2}}{\operatorname{tg} \frac{\alpha}{2}} \right), & -\alpha < \xi < \alpha \\ m = 1, 2, \dots \end{cases} \quad (11)$$

$$\frac{1}{\pi} \int_{-\alpha}^{\alpha} \operatorname{ctg} \frac{\theta - \varphi}{2} T_m \left(\frac{\operatorname{tg} \frac{\theta}{2}}{\operatorname{tg} \frac{\alpha}{2}} \right) \frac{\sec \frac{\theta}{2} d\theta}{\sqrt{2(\cos \theta - \cos \alpha)}} = \frac{-\operatorname{sgn} \varphi}{\sin \frac{\alpha}{2} \cos^2 \frac{\varphi}{2}} \left[\left(\frac{\operatorname{tg} \frac{\varphi}{2}}{\operatorname{tg} \frac{\alpha}{2}} \right)^2 - 1 \right]^{-\frac{1}{2}} \times \\ \left[\frac{\operatorname{tg} \frac{\varphi}{2}}{\operatorname{tg} \frac{\alpha}{2}} - \operatorname{sgn} \varphi \sqrt{\left(\frac{\operatorname{tg} \frac{\varphi}{2}}{\operatorname{tg} \frac{\alpha}{2}} \right)^2 - 1} \right]^m, \quad \alpha < |\varphi| < \pi, \quad m = 0, 1, 2, \dots \quad (12)$$

$$\int_{-\alpha}^{\alpha} T_m \left(\frac{\operatorname{tg} \frac{\theta}{2}}{\operatorname{tg} \frac{\alpha}{2}} \right) \frac{\sec \frac{\theta}{2} d\theta}{\sqrt{2(\cos \theta - \cos \alpha)}} = \begin{cases} \sec \frac{\alpha}{2} \left[\pi - \arccos \frac{\operatorname{tg} \frac{\varphi}{2}}{\operatorname{tg} \frac{\alpha}{2}} \right], & m = 0, \\ -\frac{\sqrt{2(\cos \varphi - \cos \alpha)}}{m \sin \alpha \cdot \cos \frac{\varphi}{2}} U_{m-1} \left(\frac{\operatorname{tg} \frac{\varphi}{2}}{\operatorname{tg} \frac{\alpha}{2}} \right), & m = 1, 2, \dots \end{cases} \quad (13)$$

$$\varphi \int_{-\alpha}^{\alpha} U_{m-1} \left(\frac{\operatorname{tg} \frac{\theta}{2}}{\operatorname{tg} \frac{\alpha}{2}} \right) U_{k-1} \left(\frac{\operatorname{tg} \frac{\theta}{2}}{\operatorname{tg} \frac{\alpha}{2}} \right) \sin^3 \frac{\theta}{2} \sqrt{2(\cos \theta - \cos \alpha)} d\theta = \begin{cases} 0, & m \neq k \\ 2\pi \cos \frac{\alpha}{2} \operatorname{tg}^2 \frac{\alpha}{2}, & m = k = 1, 2, \dots \end{cases} \quad (14)$$

Подставив из (10) в (9), умножив полученное уравнение на $f_+^{(k)}(\xi)$

$$\frac{1}{2\pi} \operatorname{ctg} \frac{\gamma_k}{2} \sec \frac{\xi}{2} \sqrt{2(\cos \xi - \cos \gamma_k)} U_{l-1} \left(\frac{\operatorname{tg} \frac{\xi}{2}}{\operatorname{tg} \frac{\gamma_k}{2}} \right)$$

и интегри-

руя по x в пределах $[-gk, gk]$, с учетом (11)-(14) получим бесконечную систему линейных алгебраических уравнений относительно $X_l^{(k)}$

$$X_l^{(k)} = \sum_{p=0}^{\infty} A_{lp} X_p^{(k)} + \sum_{m=0}^{n'} \sum_{p=0}^{\infty} B_{lp} X_p^{(m)} + F_l^{(k)}, \quad (k = 1, 2, \dots, n, l = 1, 2, \dots). \quad (15)$$

Здесь

$$A_{l0} = \frac{G_1}{2\pi G} \cos ec \frac{\gamma_k}{2} \int_{-\gamma_k}^{\gamma_k} \left[\pi - \arccos \frac{\operatorname{tg} \frac{\xi}{2}}{\operatorname{tg} \frac{\gamma_k}{2}} \right] \sec \frac{\xi}{2} \sqrt{2(\cos \xi - \cos \gamma_k)} U_{l-1} \left(\frac{\operatorname{tg} \frac{\xi}{2}}{\operatorname{tg} \frac{\gamma_k}{2}} \right) d\xi, \quad (l = 1, 2, \dots), \quad (16)$$

$$A_{lp} = \frac{G_1}{2\pi G p} \frac{\gamma_k}{\sin^2 \frac{\gamma_k}{2}} \int_{-\gamma_k}^{\gamma_k} \sec^2 \frac{\xi}{2} U_{l-1} \left(\frac{tg \frac{\xi}{2}}{tg \frac{\gamma_k}{2}} \right) U_{p-1} \left(\frac{tg \frac{\xi}{2}}{tg \frac{\gamma_k}{2}} \right) (\cos \xi - \cos \gamma_k) d\xi, \quad (17)$$

$(k = 1, 2, \dots, n \quad p = 1, 2, \dots),$

$$B_{lp} = \frac{1}{2\pi} \cos \frac{\gamma_k}{2} \cdot \csc^2 \frac{\gamma_k}{2} \times \\ \times \int_{-\gamma_k}^{\gamma_k} \frac{\operatorname{sgn}(\xi - 2\varepsilon_{mk})}{\cos^2 \left(\frac{\xi}{2} - \varepsilon_{mk} \right)} \cos \frac{\xi}{2} \sqrt{2(\cos \xi - \cos \gamma_k)} U_{l-1} \left(\frac{tg \frac{\xi}{2}}{tg \frac{\gamma_k}{2}} \right) U_{p-1} \left(\frac{tg \frac{\xi}{2}}{tg \frac{\gamma_k}{2}} \right) d\xi, \quad (l = 1, 2, \dots, n; p = 0, 1, 2, \dots) \quad (18)$$

$$F_l^{(k)} = -\frac{G_1 \omega}{2\pi G} \int_{-\gamma_k}^{\gamma_k} ctg \frac{\gamma_k}{2} \sec \frac{\xi}{2} \sqrt{2(\cos \xi - \cos \gamma_k)} U_{l-1} \left(\frac{tg \frac{\xi}{2}}{tg \frac{\gamma_k}{2}} \right) \left[\int_{-\gamma_k}^{\xi} f_-^{(k)}(\eta) d\eta \right] d\xi, \quad (19)$$

$$X_0^{(k)} = \frac{\omega}{\pi} \cos \frac{\gamma_k}{2} \int_{-\gamma_k}^{\gamma_k} f_-^{(k)}(\eta) d\eta \quad , \quad (k = 1, 2, \dots, n) \quad . \quad (20)$$

На основании [1] можно показать, что система (15) квази-вполне регулярна. Как видно из (10) и (2), контактные касательные напряжения τ_{rz} в окрестности граничных точек контактной области имеют обычную квадратичную особенность.

ЛИТЕРАТУРА

- Александров В. М., Мхитарян С. М.** Контактные задачи для тел с тонкими покрытиями и прослойками. М.: Наука, 1983. 488с.
- Мхитарян С. М., Торосян Ф. С.** О контактном взаимодействии круглого диска и бесконечной пластины с круговым отверстием, подкрепленным тонким колышевым покрытием // Изв. АН Арм. ССР. Механика. 1978. Т. 31. № 5. С. 3–19.
- Шагинян С. С.** Некоторые контактные задачи о передаче нагрузки от стрингеров малой толщины к бесконечной пластинке с круговым отверстием. Автореф. дисс. на соиск. уч. степ. канд. физ.-мат. наук. Ереван, 1977. 18 с.
- Шекяն Л. А., Оганесян А. Н.** О контактном взаимодействии круговых стрингеров с упругим пространством с цилиндрическим отверстием при антиплоской деформации. Проблемы механики деформируемых тел. Изд. Гитутюн, НАН РА, Ереван, 2003. С. 348–356.

**ԿՈՆՏԱԿՏԱՅԻՆ ԼԱՐՈՒՄՆԵՐՆ ԱՌԱՋՎԱԿԱՆ ԲԱՐԱԿ ԳԼԱՍԱՁԵՎ ԹԱՐԱՆԹԱՆԵՐԻ ԵՎ
ԳԼԱՍԱՁԵՎ ԽՈՂՈՉՈՎ ԱՌԱՋՎԱԿԱՆ ՏԱՐԱԾՈՒԹՅԱՆ ՄԻՋԵՎ՝ ԿԱԿԱՐՈԹ ԴԵՖՈՐՄԱՑԻԱՅԻ
ԴԵՊՔՈՒՄ**

**Ն. Ա. ԿՈՒՏՈՒՅՅԱՆ
Լ. Ա. ՇԵԿՅԱՆ**

Գծային առաձգականության տեսության շրջանակներում դիտարկվել է բարակ գլանաձև առաձգական թաղանթների և գլանաձև խոռոչով առաձգական տարածության կոնտակտային փոխազդեցության խնդիրը՝ հակահարթ դեֆորմացիայի դեպքում: Ենթադրվում է, որ թաղանթներն ունեն նույն առաձգականության մոդուլները, հաստությունը և միջին մակերևույթի շառավիղը:

Օգտագործելով Ֆուրյեի կոմպլեքս շարքերի և Չեբիչևի օրթոգոնալ բազմանդամների մեռողմերը՝ խնդիրը հանգեցվել է գծային համահաշվական հավասարումների քվազի-ռեգուլյար համակարգի լուծման: Պարզված է, որ կոնտակտային շոշափող լարումները կոնտակտի տիրույթի եզրային կետերի մոտակայքում ունեն սովորական քառակուսային եզակիություն:

CONTACT STRESSES BETWEEN THIN ELASTIC CYLINDRICAL SHELLS AND ELASTIC SPACE WITH A CYLINDRICAL HOLE IN ANTIPLANE STRAIN

*N. A. KUTUZYAN
L. A. SHEKYAN*

In the formulation of the linear elasticity theory consider the problem of contact interaction of thin cylindrical shells and elastic space with a cylindrical cavity located in antiplane strain. Assuming it's the shell have the same modulus of elasticity, thickness and radius of the middle surface.

Using the methods of complex Fourier series and Chebyshevs orthogonal polynomials, the problem is reduced to solving an infinite quasi-completely regular system of linear algebraic equations. It was found that the contact shear stresses in the vicinity of the contact boundary points have a common quadratic singularity.

ՍԻՆԹԵԶԱԵՐ ԱՄՈՆԻՈՒՄԻ ԴԻԹԻՌԱՐԲԱՍՏԻ ՀԻՄՔԻ ՎՐԱ

Ֆ. Վ. ԱՎԵՏԻՍՅԱՆ
Քիմիական գիտությունների թեկնածու,
գոյն Ֆիզիկամաթեմատիկական և քիմիական գիտությունների ամբիոնի վարիչ

Մեր ուսումնասիրությունների շրջանակներում մեծ տեղ են գրավում դիթիոնիկարբամատները և դրանց ածանցյալները, որոնք օժտված են ֆունգիցիային բարձր ակտիվությամբ: Դայտնի են բազմաթիվ դիթիոնիկարբամատային ֆունգիցիդներ, որոնք լայնորեն կիրառվում են գյուղատնտեսության մեջ (նամաք, մաներ, ցիներ և այլն):

Այդ նպատակով, որպես հիմնական ելանյութ, օգտագործվել է ամոնիումի դիթիոնիկարբամատը, որը մատչելի է սինթեզման տեսանկյունից:

Գրականությունից հայտնի է, որ քացախաթթվի մնացորդը ֆիզիոլոգիապես ակտիվ պրեպարատների հիմնական բաղկացուցիչն է:

Դաշվի առնելով վերը նշվածը՝ իրականացվել է ամոնիումի դիթիոնիկարբամատի և քլորքացախաթթվի ածանցյալների փոխազդեցությունը, որի արդյունքում ստացվել են դիթիոնիկարբամատի S-տեղակալված քացախաթթվի ածանցյալների բաց շղթայավոր միացություններ:

